

**НЕЗАТУХАЮЩИЕ  
ПОВЕРХНОСТНЫЕ МАГНИТОПЛАЗМЕННЫЕ ПОЛЯРИТОНЫ  
В СВЕРХРЕШЕТКАХ**

И.Н.Белецкий, Е.А.Гасан, В.М.Яковенко

Предсказано существование поверхностных магнитоплазменных поляритонов на границе сверхрешетки (СР) с диэлектриком в условиях квантового эффекта Холла (КЭХ).

В последние годы получены СР, в которых наблюдается КЭХ<sup>1, 2</sup>. В условиях КЭХ диссипативные компоненты тензора проводимости СР обращаются в нуль, в результате чего объемные магнитоплазменные колебания являются незатухающими<sup>3–6</sup>. На границе СР с диэлектриком существуют электромагнитные колебания другого типа – поверхностные магнитоплазменные поляритоны (ПМП)<sup>7–9</sup>. Они играют важную роль в волновых процессах, происходящих в ограниченных полупроводниковых структурах и могут использоваться для исследования характеристик СР. Следует ожидать, что в условиях КЭХ ПМП на границе СР-диэлектрик будут обладать рядом необычных свойств, обусловленных квантованным характером холловской проводимости и отсутствием диссипации в среде.

Рассмотрим СР ( $y < 0$ ), граничащую с диэлектриком с проницаемостью  $\epsilon_d(y > 0)$ . Внешнее постоянное магнитное поле  $H_0$  совпадает с осью СР (ось  $z$ ) и лежит в плоскости раздела сред  $y = 0$ . ПМП с частотой  $\omega$  и двумерным волновым вектором  $\vec{k} = (k_x, 0, k_z)$  распространяются под произвольным углом  $\theta$  к  $H_0$  ( $k_x = k \sin\theta$ ,  $k_z = k \cos\theta$ ). Электромагнитные свойства СР в условиях КЭХ будем описывать эффективным тензором диэлектрической проницаемости  $\epsilon_{ij}(\omega)$ , отличные от нуля компоненты которого для частот, меньших циклотронной  $\omega_c$ , имеют следующий вид:  $\epsilon_{xx} = \epsilon_{yy} = \epsilon_{zz} = \epsilon_0$ ,  $\epsilon_{xy} = -\epsilon_{yx} = -i \frac{4\pi\sigma_H}{\omega} \text{sign}(H_0, \vec{\eta})$ ,

где  $\epsilon_0$  – диэлектрическая проницаемость, усредненная по длине, превосходящей период СР  $d$ ;  $\eta$  – орт оси  $z$ ,  $\sigma_H = e^2 S/hd$  – холловская проводимость;  $e$  – заряд электрона,  $h$  – постоянная Планка,  $S$  – целое число. Наш выбор  $\epsilon_{ij}(\omega)$  принципиально отличается от модели Друде, использованной в работах<sup>10–13</sup> и приводит к ряду новых эффектов в распространении ПМП: отсутствию затухания, квантованности резонансных частот, фазовых скоростей, полос пропускания и др.

В случае распространения магнитоплазменных волн под произвольным углом  $\theta$  к  $H_0$  электромагнитное поле в СР является суперпозицией обычновенной и необычновенной волн,

поперечные волновые числа которых имеют вид (произвольная компонента  $A_j$ , электромагнитного поля в СР записывается в виде  $A_j = (A_{j_1} e^{ik_{y_1} y} + A_{j_2} e^{ik_{y_2} y}) e^{i(k_x x + k_{zz} z - \omega t)}$ ):

$$k_{y_1, 2}^2 = -\alpha \pm \sqrt{\alpha^2 - \beta}, \quad (1)$$

где

$$\alpha = \kappa^2 - \frac{\omega^2}{c^2} \left( \epsilon_0 + \frac{\epsilon_{xy}^2}{\epsilon_0} \right),$$

$$\beta = \left( \kappa^2 - \frac{\omega^2}{c^2} \epsilon_0 \right)^2 - \frac{\omega^2}{c^2} \frac{\epsilon_{xy}^2}{\epsilon_0} \left( k_x^2 - \frac{\omega^2}{c^2} \epsilon_0 \right).$$

В диэлектрике поперечное волновое число ПМП определяется из уравнения  $k_{yd}^2 = \frac{\omega^2}{c^2} \epsilon_d - \kappa^2$ .

В зависимости от величин  $\alpha$  и  $\beta$  мы получаем различные типы магнитоплазменных поляритонов: объемные (ОМП,  $k_{y_1, 2}^2 > 0$ ), псевдоповерхностные (ППМП,  $k_{y_1, 2}^2$  – разных знаков) и истинно поверхностные (ИПМП,  $k_{y_1, 2}^2 < 0$ )<sup>11</sup>. Границы областей существования различных типов магнитоплазменных поляритонов определяются из условия  $\beta = 0$ . В геометрии Фойгта ( $\theta = \pm \pi/2$ ) магнитоплазменные поляритоны могут быть лишь ОМП и ИПМП. При этом последние являются волнами ТМ типа (необыкновенные) с поперечным волновым числом, определяемым из уравнения  $k_{ys}^2 = -k_x^2 + \frac{\omega^2}{c^2} \left( \epsilon_0 + \frac{\epsilon_{xy}^2}{\epsilon_0} \right)$ . В дальнейшем мы ограничимся рассмотрением только ИПМП.

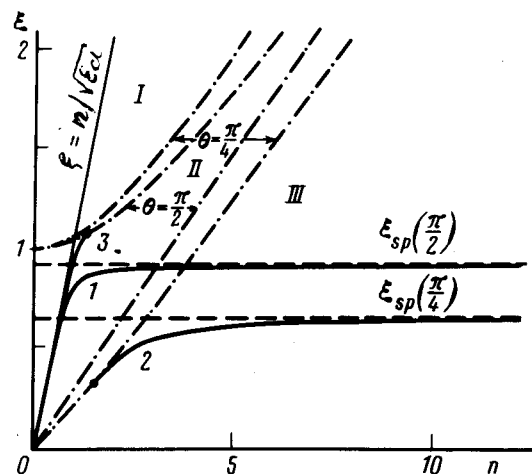
Дисперсионное уравнение  $\omega(\kappa, \theta, H_0)$ , описывающее распространение этих волн, можно получить, используя условия непрерывности тангенциальных составляющих электрического и магнитного полей на границе  $y = 0$  и их убывания при  $y \rightarrow \pm \infty$  (предполагается, что  $\text{Im}k_{y_1, 2} < 0$ , а  $\text{Im}k_{yd} > 0$ )<sup>10-13</sup>. Из дисперсионного уравнения следует, что распространение ИПМП носит невзаимный характер, т. е.  $\omega(\kappa, -\theta, H_0) \neq \omega(\kappa, \theta, H_0)$  и  $\omega(\kappa, \theta, -H_0) \neq \omega(\kappa, \theta, H_0)$ . В области  $\theta > 0$  ИПМП испытывают резонанс ( $\kappa \rightarrow \infty$ , колебания становятся электростатическими) на частоте  $\omega_{sp}(\theta) = \frac{4\pi\sigma_H}{\epsilon_0 + \epsilon_d} \sin\theta$ . Таким образом, резонансная частота ИПМП квантуется и в области плато на холловской проводимости не зависит от  $H_0$ <sup>11</sup>. Полученные нами выражение для  $\omega_{sp}(\theta)$  совпадает с соответствующими результатами работы<sup>8</sup>, если считать в ней  $\omega \ll \omega_c$ ,  $qa \ll 1$ ,  $pa \ll 1$ ,  $q = \sqrt{q^2 + p^2} \sin\theta$ ,  $n_s = \frac{eH_0}{hca} S$ ,

где  $\theta$  – угол между направлениями распространения волны и  $H_0$ . В области  $\theta < 0$  ИПМП существуют только при  $\theta = -\frac{\pi}{2}$ , причем их распространение является нерезонансным, т. е. при  $\kappa \rightarrow \infty$  существует предельная частота.

Спектр ИПМП в относительных величинах  $\xi = \omega\epsilon_0/4\pi\sigma_H$ ,  $\eta = \kappa\epsilon_0/4\pi\sigma_H$  приведены на рисунке. Области существования магнитоплазменных поляритонов указаны для  $\theta = \pm \pi/4$ . При  $\theta = \pi/2$  дисперсионная кривая 1 начинается в начале координат и с увеличением  $\eta$  асимптотически приближается к относительной частоте  $\xi_{sp}(\pi/2) = \frac{\omega_{sp}(\pi/2)\epsilon_0}{4\pi\sigma_H}$ . Эта кривая целиком лежит в области ИПМП, так как нижняя ветвь уравнения  $\beta(\pi/2) = 0$  не является граничной линией для ТМ-волны). При  $\theta = \pi/4$  спектральная линия (дисперсионная кривая 2) начинается на нижней ветви уравнения  $\beta(\pi/4) = 0$  в точке трансформации ППМП в ИПМП.

<sup>11</sup> Квантовые частоты объемных электромагнитных волн (геликонов) в безграничной СР в пределе однородной среды ( $kd \ll 1$ ) показано в работах<sup>5, 6</sup>.

Таким образом, при косом распространении в спектре ИПМП существует низкочастотная область непропускания поверхностных колебаний, величина которой квантуется. С уменьшением  $\theta$  точка начала спектра ИПМП смещается к началу координат, т. е. щель непропускания поверхностных волн сужается. Дисперсионная кривая 3 соответствует ИПМП при  $\theta = -\pi/2$ . Она начинается в начале координат и оканчивается на линии  $\beta(-\pi/2) = \beta(\pi/2) = 0$ . В геометрии Фарадея ( $\theta = 0$ ) ИПМП отсутствуют.



Для границы СР-вакуум с эффективной массой электронов в полупроводниковой структуре  $m^* = 0,068 m_0$ ,  $d = 230 \text{ \AA}$ ,  $\epsilon_0 = 11,5$  в магнитном поле  $H_0 = 10 \text{ Т}$  резонансная частота ИПМП  $\omega_{sp}(\pi/2)$  при  $S = 1$  равна  $1,5 \cdot 10^{13} \text{ с}^{-1}$ . В то же время  $\omega_c = 2,6 \cdot 10^{13} \text{ с}^{-1}$ . Ясно, что условие  $\omega \sim \omega_{sp}(\theta) \ll \omega_c$  выполняется тем лучше, чем больше  $H_0$ ,  $d$ ,  $\epsilon_d$  и меньше  $\theta$ .

Следует подчеркнуть, что в отсутствие затухания фазовая скорость ИПМП вблизи резонансных частот может быть очень мала. Это обстоятельство может быть использовано для различных приложений в микроэлектронике например, для возбуждения поверхностных колебаний пучками заряженных частиц, проходящих над СР.

#### Литература

1. Störmer H.L., Eisenstein J.P., Gossard A.C., Wiegman W., Baldwin K. Phys. Rev. Lett., 1986, **56**, 85.
2. Takaoka S., Nihei F., Murase K., Ishida A., Fujiyasu H. J. Phys. Soc. of Japan, 1986, **55**, 2519.
3. Талынский В.И. Письма в ЖЭТФ, 1986, **43**, 96.
4. Вендлер Л., Каганов М.И. Письма в ЖЭТФ, 1986, **44**, 345.
5. Tsallis A., De la Cruz G.G., Quinn J.J. Solid State Comm., 1983, **47**, 43.
6. Tsallis A., Quinn J.J. Phys. Rev., 1986, **B29**, 2021.
7. Wu Ji-Wei, Hawrylak P., Eliasson G., Quinn J.J., Fetter A.L. Solid State Comm., 1986, **58**, 795.
8. Wu Ji-Wei, Hawrylak P., Eliasson G., Quinn J.J. Phys. Rev., 1986, **B33**, 7091.
9. Wu Ji-Wei, Eliasson G., Quinn J.J. Solid State Comm., 1986, **58**, 799.
10. Chiu K.W., Quinn J.J. Nuovo Cim., 1972, **10**, 1.
11. Wallis R.F., Brion J.J., Burstein E., Hartstein A. Phys. Rev., 1974, **B9**, 3424.
12. Белецкий Н.Н., Яковенко В.М. Поверхность. Физика, химия, механика, 1985. вып. 2, 8.
13. Белецкий Н.Н., Гасан Е.А., Яковенко В.М. Препринт ИРЭ АН УССР, №282, 1985, 40 с.

Поступила в редакцию

10 января 1987 г.

После переработки

4 мая 1987 г.